



Tạp chí

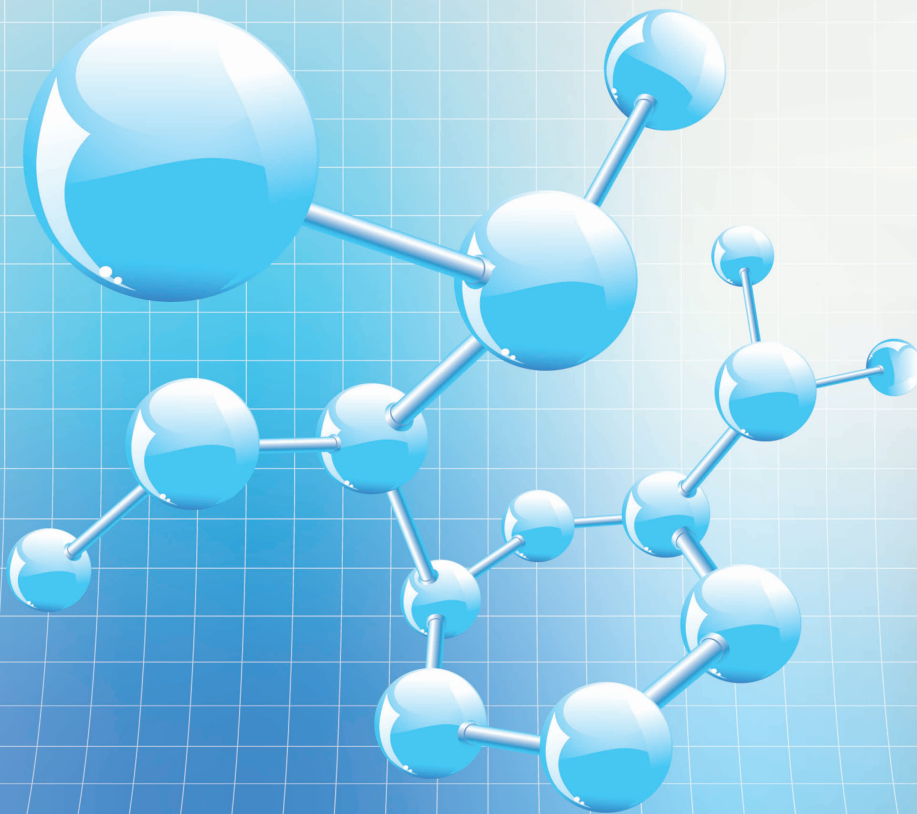
NGHIÊN CỨU KHOA HỌC

ĐẠI HỌC SAO ĐỎ

SCIENTIFIC JOURNAL - SAO DO UNIVERSITY

P. ISSN 1859-4190

E. ISSN 2815-553X



Số 4 (92)

2025

P. ISSN 1859-4190
E. ISSN 2815-553X

■ **Tổng Biên tập**

TS. Đỗ Văn Đĩnh

■ **Phó Tổng biên tập**

TS. Nguyễn Thị Kim Nguyên

■ **Thư ký Tòa soạn**

PGS.TS. Ngô Hữu Mạnh

■ **Hội đồng Biên tập**

TS. Nguyễn Thị Kim Nguyên - Chủ tịch Hội đồng

GS.TS. Phạm Thị Ngọc Yến

PGS.TSKH. Trần Hoài Linh

PGS.TS. Nguyễn Văn Liễn

GS.TSKH. Thân Ngọc Hoàn

GS.TSKH. Bành Tiến Long

GS.TS. Nguyễn Đức Toàn

PGS.TS. Lê Thu Quý

GS.TS. Lê Anh Tuấn

GS.TS. Đinh Văn Sơn

PGS.TS. Trương Thị Thủy

PGS.TS. Nguyễn Thị Bất

GS.TS. Đỗ Quang Kháng

PGS.TS. Ngô Sỹ Lương

PGS.TS. Khuất Văn Ninh

GS.TSKH. Phạm Hoàng Hải

PGS.TS. Đoàn Ngọc Hải

PGS.TS. Nguyễn Ngọc Hà

GS.TS. Yu Ming Zhang

GS.TS. Nguyễn Văn Anh

■ **Ban Biên tập**

TS. Vũ Văn Đông - Trưởng ban

ThS. Đoàn Thị Thu Hằng - Phó Trưởng ban

■ **Editor-in-Chief**

Dr. Do Van Dinh

■ **Vice Editor-in-Chief**

Dr. Nguyen Thi Kim Nguyen

■ **Office Secretary**

Assoc.Prof.Dr. Ngo Huu Manh

■ **Editorial Board**

Dr. Nguyen Thi Kim Nguyen - Chairman

Prof.Dr. Pham Thi Ngoc Yen

Assoc.Prof.Dr.Sc. Tran Hoai Linh

Assoc.Prof.Dr. Nguyen Van Lien

Prof.Dr.Sc. Than Ngoc Hoan

Prof.Dr.Sc. Banh Tien Long

Prof.Dr. Nguyen Duc Toan

Assoc.Prof.Dr. Le Thu Quy

Prof.Dr. Le Anh Tuan

Prof.Dr. Dinh Van Son

Assoc.Prof.Dr. Truong Thi Thuy

Assoc.Prof.Dr. Nguyen Thi Bat

Prof.Dr. Do Quang Khang

Assoc.Prof.Dr. Ngo Sy Luong

Assoc.Prof.Dr. Khuat Van Ninh

Prof.Dr.Sc. Pham Hoang Hai

Assoc.Prof.Dr. Doan Ngoc Hai

Assoc.Prof.Dr. Nguyen Ngoc Ha

Prof.Dr. Yu Ming Zhang

Prof.Dr. Nguyen Van Anh

■ **Editorial**

Dr. Vu Van Dong - Head

MSc. Doan Thi Thu Hang - Deputy Head

Địa chỉ Tòa soạn:

Trường Đại học Sao Đỏ.

Số 76, Nguyễn Thị Duệ, KDC Thái Học 2, P. Chu Văn An, TP. Hải Phòng.

Điện thoại: (0220) 3587213, Fax: (0220) 3882 921, Hotline: 0912 107858/0936 847980.

Website: <http://tapchikhcn.saodo.edu.vn/>Email: tapchikhcn@saodo.edu.vn.

Giấy phép xuất bản số: 620/GP-BTTTT ngày 17/9/2021 của Bộ Thông tin và Truyền thông.

In 2.000 bản, khổ 21 × 29,7cm, tại Công ty TNHH in Tre Xanh, cấp ngày 17/02/2011.

LIÊN NGÀNH ĐIỆN - ĐIỆN TỬ - TỰ ĐỘNG HÓA

- | | | |
|---|----|--|
| Thiết kế bộ điều khiển có tham số thay đổi | 5 | Nguyễn Thu Hà
Trần Tiến Đức
Nguyễn Đức Quang |
| Ứng dụng phương pháp MPC để bù trễ truyền thông | 11 | Nguyễn Trọng Các |
| Ảnh hưởng của điện mặt trời áp mái nhà tới điện áp lưới điện phân phối | 17 | Nguyễn Đình Thắng
Nguyễn Việt Đức
Nguyễn Đức Thuận
Nguyễn Thị Thu Hương
Phạm Văn Nam
Lê Viết Sơn
Nguyễn Văn Hùng
Nguyễn Đức Minh
Đỗ Văn Đình |
| Ứng dụng mạng neural tích chập kết hợp với bộ điều khiển khả trình PLC để hỗ trợ thực hiện tránh va tự động cho tàu thủy | 26 | Đinh Anh Tuấn
Đoàn Hữu Khánh
Mạc Trung Phúc
Nguyễn Phương Ty |
| Nghiên cứu ứng dụng thị giác máy trong tự động hóa hệ thống rót than cho toa xe tại Tập đoàn Công nghiệp Than - Khoáng sản Việt Nam (TKV) | 32 | Lê Văn Thông
Phương Mạnh Tuấn
Phạm Thị Thu Hương
Phạm Văn Nam
Đỗ Văn Đình |

LIÊN NGÀNH CƠ KHÍ - ĐỘNG LỰC

- | | | |
|--|----|---|
| Mô phỏng ứng suất, chuyển vị, biến dạng và hệ số an toàn trong lắp ghép mặt bích ống chịu tải trọng phức hợp | 39 | Vũ Hoa Kỳ |
| Nghiên cứu ứng dụng ngôn ngữ lập trình Python tối ưu hóa chế độ cắt khi tiện CNC thép không gỉ AL-6XN | 45 | Mạc Thị Nguyên
Nguyễn Thị Thảo
Đào Văn Kiên |
| Phân tích đa vật lý về Điện - Nhiệt - Cơ của Vi kết nối | 52 | Mạc Văn Giang |

LIÊN NGÀNH CƠ KHÍ - ĐỘNG LỰC

- Nghiên cứu tối ưu hóa tấm phẳng hợp kim nhôm 6061-T6 theo hai phương pháp hình dạng và cấu trúc 58 Nguyễn Văn Hình
- Mô phỏng và phân tích ứng suất, biến dạng trên dao phay carbide K10 khi phay mặt bên thép SKD61 theo hai sơ đồ tiếp xúc 65 Mạc Thị Nguyên
Mạc Văn Giang

NGÀNH KINH TẾ

- Giải pháp thúc đẩy phát triển sản phẩm dịch vụ trong thời kỳ chuyển đổi số ở Việt Nam hiện nay 72 Ngô Thị Luyện
- Chi phí logistics và năng lực cạnh tranh của doanh nghiệp Việt Nam 78 Nguyễn Minh Tuấn
- Tiến tới Net Zero -Thực trạng phát triển thị trường Các-bon tại Việt Nam 84 Lương Thị Hoa
Nguyễn Thị Thủy
- Truyền thông số trong Marketing du lịch địa phương: Trường hợp khu di tích Côn Sơn - Kiếp Bạc, Thành phố Hải Phòng 90 Vũ Thị Hường
- Chính sách thuế dưới giác độ cảm nhận của hộ kinh doanh 96 Phạm Thị Hồng Hoa

LIÊN NGÀNH TRIẾT HỌC - XÃ HỘI HỌC - CHÍNH TRỊ HỌC

- Ứng dụng chuyển đổi số trong giảng dạy học phần tư tưởng Hồ Chí Minh ở Trường Đại học Sao Đỏ hiện nay 104 Nguyễn Thị Hải Hà
- Lý luận năng suất lao động của Mác-Lênin và quan điểm của Đảng Cộng sản Việt Nam trong bối cảnh chuyển đổi số ngày nay 109 Vũ Văn Đông
- Tư tưởng Hồ Chí Minh về xây dựng đội ngũ nhà giáo và sự vận dụng của Đảng Cộng sản Việt Nam trong thời kỳ công nghiệp hóa, hiện đại hóa hiện nay 114 Đặng Thị Dung
- Tư tưởng Hồ Chí Minh về nhà nước pháp quyền xã hội chủ nghĩa và sự vận dụng của Đảng Cộng sản Việt Nam hiện nay 120 Vũ Văn Đông
Trần Thị Hồng Nhung
- Phát triển nguồn nhân lực trong kỷ nguyên số thông qua mô hình hợp tác đào tạo giữa nhà trường và doanh nghiệp - Hướng đi mới cho quản lý giáo dục và nâng cao chất lượng lao động 125 Đỗ Thị Thùy

TITLE FOR ELECTRICITY - ELECTRONICS - AUTOMATION

- | | | |
|--|----|--|
| Design of a variable parameter controller | 5 | Nguyen Thu Ha
Tran Tien Duc
Nguyen Duc Quang |
| Application of Model predictive control for communication delay compensation | 11 | Nguyen Trong Cac |
| Effects of rooftop photovoltaic systems on distribution grid voltage | 17 | Nguyen Dinh Thang
Nguyen Viet Duc
Nguyen Duc Thuan
Nguyen Thi Thu Huong
Pham Van Nam
Le Viet Son
Nguyen Van Hung
Nguyen Duc Minh
Do Van Dinh |
| Application of convolutional neural network (CNN) combined with programmable logic controller (PLC) to support automatic collision avoidance for ships | 26 | Dinh Anh Tuan
Doan Huu Khanh
Mac Trung Phuc
Nguyen Phuong Ty |
| A Study on the application of Machine vision in automating coal loading Systems for Railcars at Vietnam National Coal and Mineral Industries Group (TKV) | 32 | Le Van Thong
Phuong Manh Tuan
Pham Thi Thu Huong
Pham Van Nam
Do Van Dinh |

TITLE FOR MECHANICAL AND DRIVING POWER ENGINEERING

- | | | |
|---|----|---|
| Stress, displacement, strain and safety factor simulation in flange pipe assembly under complex loading | 39 | Vu Hoa Ky |
| Python based optimization of cutting parameters in CNC turning of AL-6XN stainless steel | 45 | Mac Thi Nguyen
Nguyen Thi Thao
Dao Van Kien |
| Multiphysics Analysis of Electro - Thermo - Mechanical Interactions in Micro - Interconnects | 52 | Mac Van Giang |

TITLE FOR MECHANICAL AND DRIVING POWER ENGINEERING

- Research on optimizing 6061-T6 aluminum alloy flat plate using two methods shape and structure 58 Nguyen Van Hinh
- Simulation and analysis of stress and strain on carbide K10 end mills for SKD61 steel side milling under two contact schemes 65 Mac Thi Nguyen
Mac Van Giang

TITLE FOR ECONOMICS

- Solutions to promote service products development in the current digital transformation period in Vietnam 72 Ngo Thi Luyen
- Logistics costs and competitiveness of Vietnamese enterprises 78 Nguyen Minh Tuan
- Toward Net Zero - The current development of the Carbon market in Vietnam 84 Luong Thi Hoa
Nguyen Thi Thuy
- Digital communication in Local Tourism Marketing: The Case of the Con Son - Kiep Bac Historical Site, Hai Phong City 90 Vu Thi Huong
- Tax policy from the perspective of business households 96 Pham Thi Hong Hoa

TITLE FOR PHILOSOPHY - SOCIOLOGY - POLITICAL SCIENCE

- The application of digital transformation in teaching the subject of Ho Chi Minh's thought at Sao Do University today 104 Nguyen Thi Hai Ha
- The theory of labor productivity of Marx-Lenin and the viewpoint of the Communist Party of Vietnam in the context of today's digital transformation 109 Vu Van Dong
- Ho Chi Minh's thoughts on building a team of teachers and its application by the Communist Party of Vietnam in the current period of industrialization and modernization 114 Dang Thi Dung
- Ho Chi Minh's thought on the socialist rule of law state and its application by the Communist Party of Vietnam today 120 Vu Van Dong
Tran Thi Hong Nhung
- Developing human resources in the digital era through a training cooperation model between schools and businesses - A new direction for educational management and improving labor quality 125 Do Thi Thuy

Mô phỏng và phân tích ứng suất, biến dạng trên dao phay carbide K10 khi phay mặt bên thép SKD61 theo hai sơ đồ tiếp xúc

Simulation and analysis of stress and strain on carbide K10 end mills for SKD61 steel side milling under two contact schemes

Mạc Thị Nguyễn*, Mạc Văn Giang

Trường Đại học Sao Đỏ

*Tác giả liên hệ: nguyenmacthi@gmail.com

Ngày nhận bài: 21/03/2025

Ngày nhận bài sửa sau phản biện: 02/11/2025

Ngày chấp nhận đăng: 26/11/2025

Tóm tắt

Nghiên cứu này phân tích ảnh hưởng của hai sơ đồ tiếp xúc dao (hướng kính và dọc trục) đến ứng suất và biến dạng trên dao phay ngón carbide K10 trong quá trình phay mặt bên thép SKD61. Trong nghiên cứu, lực cắt phát sinh trong quá trình phay được mô phỏng số bằng phần mềm Altair Inspire, sau đó ứng suất và biến dạng trên dao cắt được phân tích bằng phương pháp phần tử hữu hạn (FEM) dựa trên các lực mô phỏng này. Kết quả cho thấy sơ đồ tiếp xúc hướng kính giúp giảm đáng kể lực cắt tổng hợp (131,213N so với 2341N), ứng suất lớn nhất (112,2 MPa so với 528,3MPa) và biến dạng ($3,62 \cdot 10^{-3}$ mm so với $3,2478 \cdot 10^{-2}$ mm) so với sơ đồ tiếp xúc dọc trục. Các phát hiện này cung cấp cơ sở khoa học quan trọng cho việc lựa chọn chiến lược gia công tối ưu trên máy phay CNC, nhằm kéo dài tuổi thọ dao, cải thiện chất lượng chi tiết và nâng cao hiệu quả sản xuất.

Từ khóa: Mô phỏng số; phương pháp phần tử hữu hạn (FEM); ứng suất; biến dạng; lực cắt; máy phay CNC; chất lượng gia công.

Abstract

This study focuses on analyzing the influence of two tool contact schemes (radial and axial) on the stress and strain on carbide K10 end mills during the side milling process of SKD61 steel. In this study, the cutting forces generated during the milling process were numerically simulated using Altair Inspire software, and subsequently, the stress and strain on the cutting tool were analyzed using the Finite Element Method (FEM) based on these simulated forces. The results show that the radial contact scheme significantly reduces the resultant cutting force (131,213N compared to 2341N), maximum stress (112,2 MPa compared to 528,3 MPa), and deformation ($3,62 \cdot 10^{-3}$ mm compared to $3,2478 \cdot 10^{-2}$ mm) compared to the axial contact scheme. These findings provide an important scientific basis for selecting optimal machining strategies on CNC milling machines, aiming to extend tool life, improve part quality, and enhance production efficiency.

Keywords: Numerical simulation; finite element method (FEM); stress; strain; cutting force; CNC milling machine; machining quality.

1. ĐẶT VẤN ĐỀ

Phay là phương pháp gia công cắt gọt phổ biến và hiệu quả, tuy nhiên khi ứng dụng với vật liệu có độ cứng cao như thép SKD61 (được sử dụng chủ yếu trong chế tạo khuôn mẫu), quá trình gia công thường gặp nhiều khó khăn. Với độ cứng dao động từ 50 đến 55 HRC, khi gia công thép SKD61 có lực cắt lớn và nhiệt độ gia công cao, dẫn đến dao cắt nhanh bị mài

mòn và biến dạng. Những yếu tố này không chỉ làm giảm tuổi thọ dao cắt mà còn ảnh hưởng trực tiếp đến chất lượng sản phẩm và hiệu quả kinh tế của quá trình sản xuất.

Trong các nguyên công phay, phay mặt bên là nguyên công quan trọng nhưng ít được nghiên cứu sâu so với phay mặt phẳng hay phay rãnh, đặc biệt với thép SKD61. Sơ đồ tiếp xúc dao (theo hướng kính hoặc dọc trục) tác động mạnh đến lực cắt, từ đó ảnh hưởng đến ứng suất và biến dạng trên dao. Lực cắt lớn có thể gây rung động, mài mòn, biến dạng, thậm chí gãy dao, làm giảm năng suất và độ chính xác gia công. Do

Người phản biện: 1. TS. Nguyễn Văn Hình

2. PGS.TS. Ngô Hữu Mạnh

đó, việc kiểm soát lực cắt thông qua lựa chọn sơ đồ tiếp xúc phù hợp là rất quan trọng, đặc biệt trong gia công CNC.

Do đó, việc nghiên cứu và mô phỏng lực cắt dưới các điều kiện tiếp xúc khác nhau của dao cắt là cần thiết để nâng cao hiệu quả kinh tế và kỹ thuật trong quá trình gia công, nhất là trên máy phay CNC. Nhiều nghiên cứu trước đây đã đặt nền tảng quan trọng cho vấn đề này.

Nội dung bài báo [1] đã dự đoán và xác nhận lực cắt trong phay vi mô thép AISI H13 (tương đương SKD61) bằng dao phay ngón cacbua K10, sử dụng mô hình phần tử hữu hạn (FEM) trên phần mềm ABAQUS/Explicit. Nghiên cứu này tích hợp tính chất vật liệu đàn hồi-nhựa dẻo, với các thông số như độ dày phoi ($\leq 20 \mu\text{m}$) và vận tốc cắt ($104,7 \div 4,723 \text{ mm/s}$). Thử nghiệm được thực hiện với dao đường kính 0,4 mm, tốc độ trục chính từ 10.000÷30.000 vòng/phút và lượng chạy dao 2÷8 μm /răng. Kết quả cho thấy lực cắt tăng theo độ cứng vật liệu, nhiệt độ cắt đạt 200÷450°C và phoi chuyển từ trạng thái liên tục sang phân đoạn ở độ cứng cao, với sai số giữa mô phỏng và thực nghiệm từ 5÷15%.

Theo [2] Malekian et al đã mô hình hóa lực cắt động trong phay vi mô trên vật liệu cứng bằng dao phay ngón cacbua K10, kết hợp cơ học cắt gọt và FEM để phân tích các yếu tố động lực học như dao lệch và rung động. Thử nghiệm sử dụng dao đường kính 0,5 mm, tốc độ trục chính từ 20.000÷60.000 vòng/phút, lượng chạy dao 0,5÷2 μm /răng và chiều sâu cắt 10÷50 μm . Lực cắt đo được bằng dynamometer Kistler nằm trong khoảng $F_x: 0,1 \div 1,5 \text{ N}$, $F_y: 0,2 \div 2,0 \text{ N}$, $F_z: 0,05 \div 0,8 \text{ N}$, với sai số mô phỏng-thực nghiệm từ 5÷15%. Những kết quả này hỗ trợ việc tối ưu hóa thông số gia công vi mô.

Tuy nhiên, các nghiên cứu trên chủ yếu tập trung vào phay vi mô với dao đường kính nhỏ (0,4÷0,5 mm) và chiều sâu cắt hạn chế (dưới 50 μm), trong khi thực tế gia công thép SKD61 thường sử dụng dao phay ngón lớn hơn (6÷12 mm) và chế độ cắt nặng hơn (chiều sâu cắt 0,5÷2 mm). Sự khác biệt này đòi hỏi phải mở rộng nghiên cứu để mô phỏng lực cắt trong điều kiện phay thông thường, nhằm dự đoán chính xác lực cắt, tối ưu hóa thông số gia công, giảm mài mòn dao và nâng cao chất lượng chi tiết.

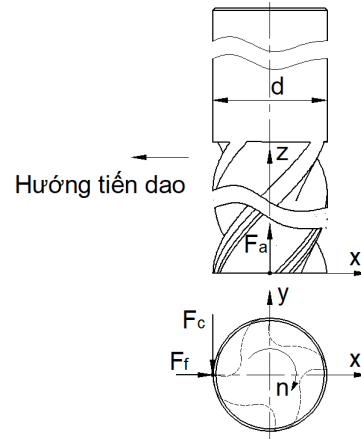
Bài báo này sử dụng phần mềm Altair Inspire mô phỏng số lực cắt theo hai sơ đồ tiếp xúc hướng kính và dọc trục khi phay mặt bên thép SKD61 bằng dao phay ngón carbide K10, đường kính dao là $\Phi 12 \text{ mm}$.

Phương pháp phần tử hữu hạn (FEM) được áp dụng để phân tích phân bố ứng suất và biến dạng trên dao cắt dưới tác động của các lực này. Nghiên cứu nhằm

cung cấp dữ liệu khoa học, làm cơ sở cho việc chọn chiến lược gia công tối ưu, từ đó nâng cao tuổi thọ của dao cắt và hiệu quả sản xuất.

2. MÔ HÌNH BÀI TOÁN

2.1. Sơ đồ lực cắt



Hình 1. Lực cắt do tác dụng từ phôi lên dao

Lực cắt trong quá trình phay là lực tổng hợp tác động từ dao cắt lên phôi để bóc tách vật liệu. Trên hình 1 trình bày phương và chiều của các lực tác dụng, bao gồm ba thành phần chính: Lực cắt chính (F_c), lực dọc trục (F_a) và lực tiến dao (F_r), khi phay bằng dao phay ngón, lực cắt phụ thuộc vào các yếu tố như hình học dao (đường kính, số lưỡi cắt, góc xoắn), thông số gia công (Số vòng quay trục chính S, lượng chạy dao F, chiều sâu cắt a_p và bước dịch chuyển ngang a_e), đặc tính vật liệu phôi...

2.2. Điều kiện biên của mô phỏng

2.2.1. Sơ đồ gia công

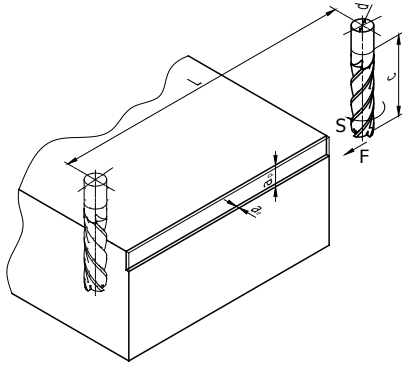
Theo [3] chọn dao cắt có đường kính $d = 12 \text{ mm}$, chiều dài phần lưỡi cắt $e = 30 \text{ mm}$, vật liệu chế tạo dao cắt là carbide K10, chiều dài công xôn gá dao là $c = 35 \text{ mm}$, chọn phôi có kích thước $150 \times 175 \times 70 \text{ mm}$, vật liệu phôi là thép SKD61, tra được chế độ cắt theo 2 sơ đồ trình bày trên Bảng 1 như sau:

Bảng 1. Chế độ cắt theo sơ đồ tiếp xúc hướng kính và dọc trục

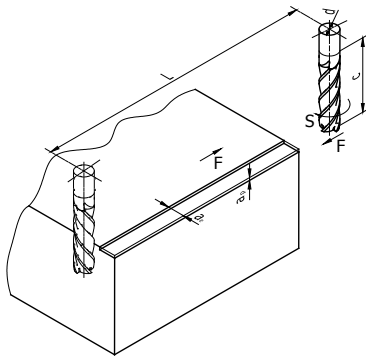
Loại sơ đồ	S (vg/ph)	F (mm/ph)	a_p (mm)	a_e (mm)
Sơ đồ tiếp xúc dao theo hướng kính	800	300	12	0,24
Sơ đồ tiếp xúc dao theo dọc trục			0,24	12

Chọn chiều dài đường chạy dao trên hai sơ đồ gia công cùng là $L = 200 \text{ mm}$

Sơ đồ gia công tiếp xúc hướng kính được trình bày trên Hình 2, sơ đồ gia công tiếp xúc dọc trục được trình bày trên Hình 3.



Hình 2. Sơ đồ tiếp xúc dao theo hướng kính



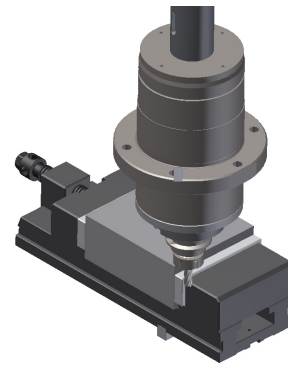
Hình 3. Sơ đồ tiếp xúc dao theo dọc trục

Nhận xét:

Trong 2 sơ đồ gia công trên thì năng suất gia công tương tự nhau do phần thể tích phần vật liệu được cắt đi trong 1 hành trình của dao cắt như nhau.

2.2.2. Xây dựng mô hình mô phỏng dạng 3D

Dựa trên sơ đồ gia công và theo tài liệu tham khảo [4], cụm trục chính của máy phay CNC sử dụng hệ điều hành Fanuc với bầu dao BT40 đã được sử dụng để xây dựng mô hình mô phỏng, được trình bày trong Hình 4.



Hình 4. Mô hình kết cấu mô phỏng

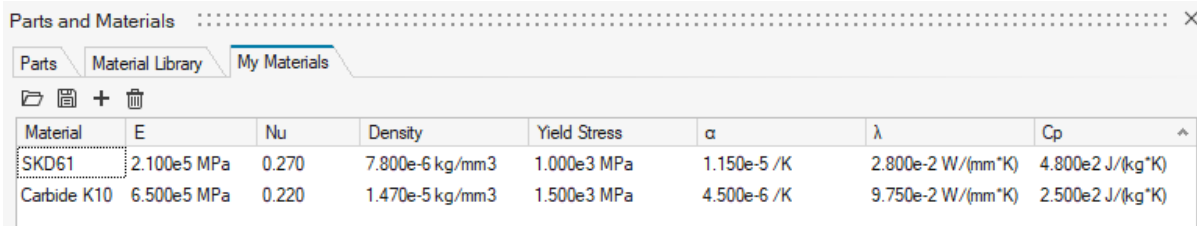
Gán vật liệu: Vật liệu của dao cắt là carbide K10, vật liệu của phôi là SKD61, các chi tiết khác vật liệu gán theo [4].

Theo [5] đặc tính vật liệu carbide K10 và SKD61 được trình bày trên Bảng 2 như sau:

Bảng 2. Đặc tính của vật liệu carbide K10 và SKD61

Thông số	Carbide K10	SKD61
E - Mô đun đàn hồi (Mpa)	~650000	~210000
Nu - Hệ số Poisson)	~0,22	~0,27
Density - Khối lượng riêng (kg/mm ³)	~14,7.10 ⁻⁶	~7,8.10 ⁻⁶
Yield Stress- Giới hạn chảy (Mpa)	~1500	~1000
α - Hệ số giãn nở nhiệt (/K)	~4,5.10 ⁻⁶	~11,5.10 ⁻⁶
λ - Độ dẫn nhiệt (W/(mm.K))	~0,0975	~0,028
C _p - Nhiệt dung riêng (J/(kg.K))	~250	~480

Theo [6], bổ xung vật liệu dao cắt và phôi cho thư viện trên phần mềm Altair Inspire, được thể hiện trên Hình 5.



Hình 5. Đặc tính vật liệu carbide K10 và SKD61

2.2.3. Thiết lập các thông số động lực học và mô phỏng

a. Đặc tính điều khiển động cơ trục chính

- Tính toán chu kỳ hành trình

$$t = L/F \text{ (s)} \quad (1)$$

Trong đó:

+ Chiều dài hành trình: L = 200 mm.

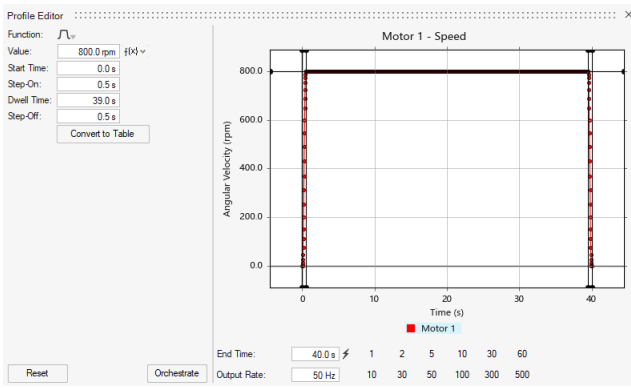
+ Bước tiến: F = 300 mm/ph = 5 mm/s.

Thay số vào (1) được: t = 40 s.

- Theo [4] thời gian ổn định tốc độ và thời gian hãm của động cơ servo trục chính là 0,5 s, vậy thời gian tốc độ trục chính ổn định với S = 800 vg/ph là 39 s

- Chọn số hình ảnh hiển thị trong 1 s là 50.

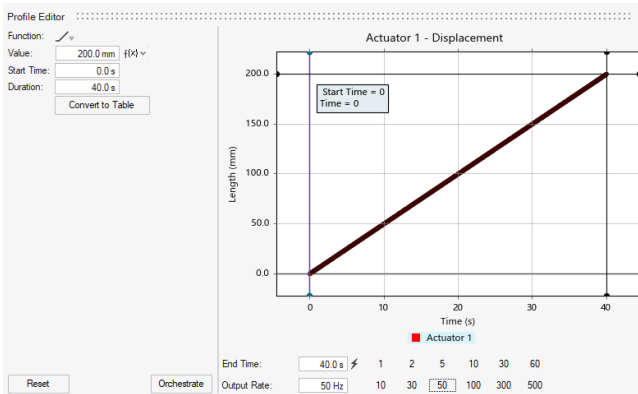
Các đặc tính điều khiển động cơ trục chính được thể hiện trên Hình 6.



Hình 6. Đặc tính điều khiển động cơ trực chính

b. Đặc tính điều khiển bàn máy

Đặc tính điều khiển chuyển động tịnh tiến đều của bàn máy được trình bày trên Hình 5 với chiều dài hành trình $L = 200$ mm và được trình bày trên Hình 7.



Hình 7. Đặc tính điều khiển bàn máy

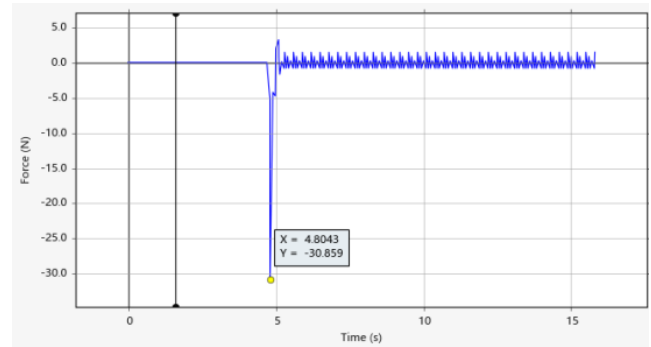
c. Thiết lập tương tác cắt gọt

Dao cắt và phôi có tương tác cắt gọt theo tính chất vật lý của 2 vật rắn, trong điều kiện có ma sát, các thông số tương tác cắt gọt được trình bày trên Hình 8.

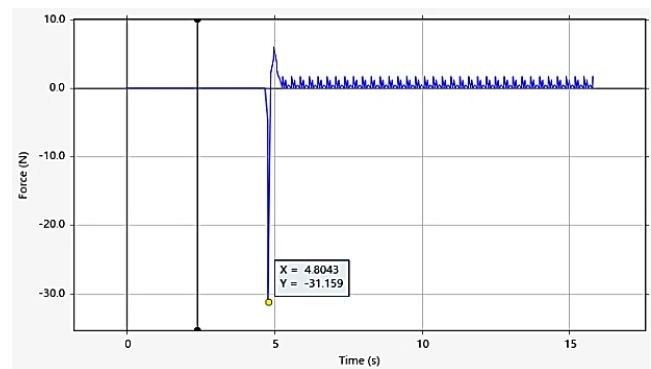
Name	Value
General	
Name	Motion Contact 1
Entities1	Solid2
Entities2	Solid1
Collision	Impact
Enable Fri.	<input checked="" type="checkbox"/>
Properties	
Stiffness	1000.0 N/mm
Damping	0.1 N*s/mm
Exponent	2.1
Penetrati...	0.1 mm
Friction	
Friction T.	Static and Dynamic
Static Co.	0.2
Dynamic	0.1
Stiction T.	1.0 mm/s
Friction Tr.	1.5 mm/s
Advanced	
Precise C.	<input type="checkbox"/>
Refine St.	<input type="checkbox"/>
Keep For.	Default
Force Co.	Element Center

Hình 8. Tương tác cắt gọt

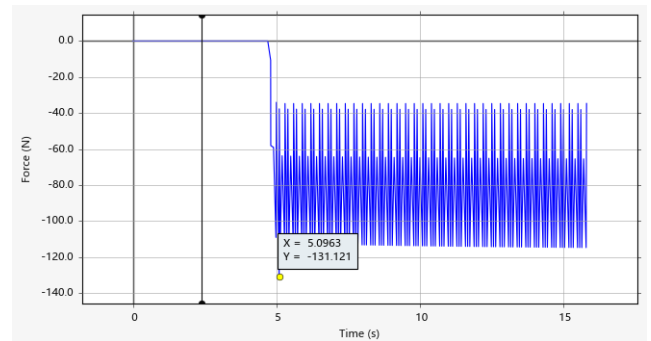
Tiến hành mô phỏng và xác định được các đồ thị lực cắt trong trường hợp 1, theo sơ đồ tiếp xúc dao theo phương hướng kính được trình bày từ Hình 9 đến Hình 12 như sau:



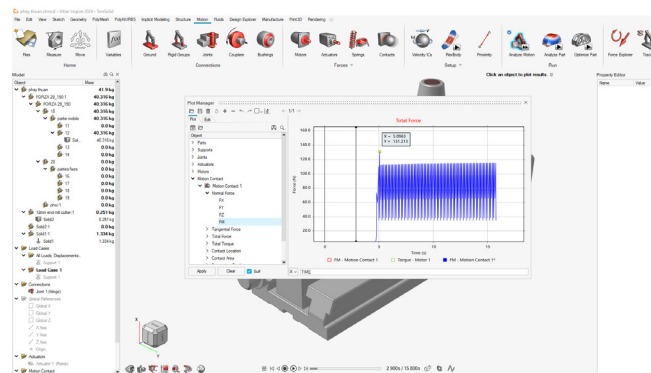
Hình 9. Đồ thị lực dọc trục F_{a1}



Hình 10. Đồ thị lực tiến dao F_{t1}

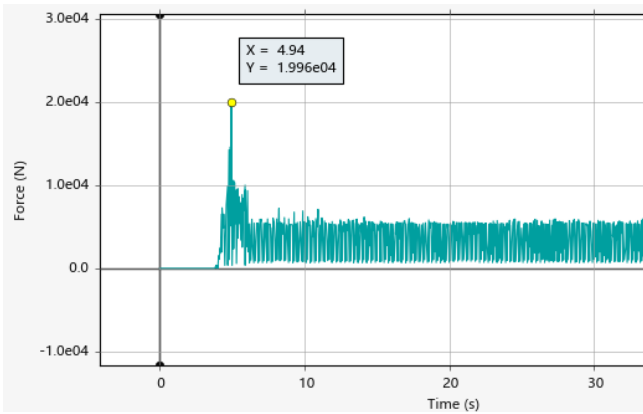


Hình 11. Đồ thị lực cắt chính F_{c1}

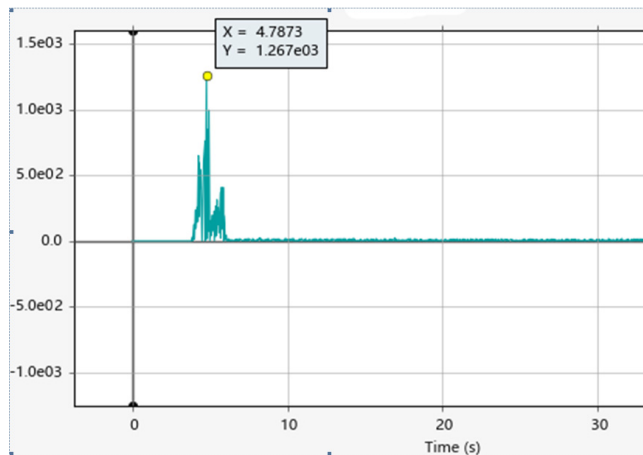


Hình 12. Đồ thị lực cắt tổng hợp F_c

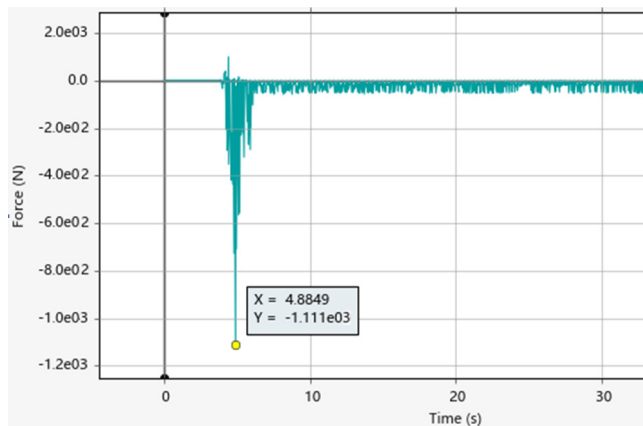
Tiến hành mô phỏng và xác định được các đồ thị lực cắt trong trường hợp 2, theo sơ đồ tiếp xúc dao theo phương dọc trục được trình bày từ Hình 13 đến Hình 16 như sau:



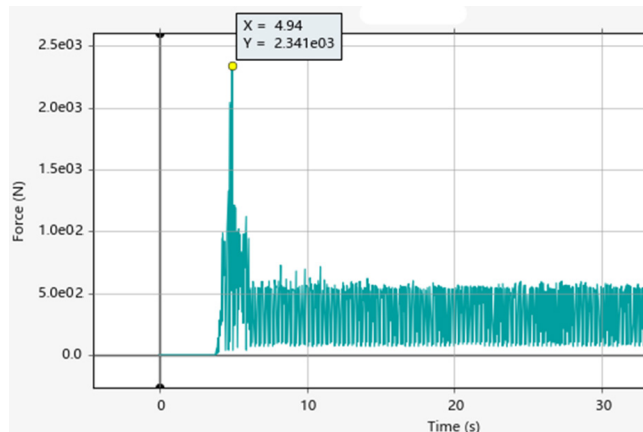
Hình 13. Đồ thị lực dọc trục F_{a2}



Hình 14. Đồ thị lực tiến dao F_{f2}



Hình 15. Đồ thị lực cắt chính F_{c2}



Hình 16. Đồ thị lực cắt tổng hợp F_2

Nhận xét:

Phương án gia công theo cả 2 sơ đồ tiếp xúc dao trên thì có đặc điểm giống nhau là thời điểm bắt đầu quá trình cắt gọt, lực cắt tăng mạnh do sự tiếp xúc đột ngột giữa công cụ cắt và phôi. Ngoài ra, khi dao cắt tiếp xúc vào bề mặt chi tiết gia công, lực cắt cũng tăng đột ngột do ma sát và biến dạng của vật liệu. Trong các giai đoạn tiếp theo, lực cắt dao động theo chu kỳ, tương ứng với mỗi vòng quay của dao cắt. Tuy nhiên lực cắt khi gia công theo sơ đồ tiếp xúc dao theo hướng kính có giá trị lực cắt nhỏ hơn khi gia công theo sơ đồ tiếp xúc dao theo dọc trục tính theo giá trị lực cắt tổng hợp lớn nhất thì $F_2/F_1 = 2341/131,213 = 17,8$ lần, nguyên nhân khi sử dụng sơ đồ tiếp xúc dao theo hướng kính tổng lực cắt được phân bố trên chiều dài lưỡi cắt lên lực cắt tại một vị trí giảm nhiều lần như trên

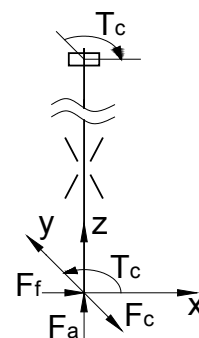
3. PHÂN TÍCH PHẦN TỬ HỮU HẠN CHO DAO CẮT

Theo [6], xuất file CSV được kết quả các thành phần lực có giá trị tổng hợp lớn nhất trong 2 sơ đồ gia công được trình bày trên Bảng 3.

Bảng 3. Các thành phần lực cắt

Loại sơ đồ	F_a (N)	F_f (N)	F_c (N)	F (N)
Sơ đồ tiếp xúc dao theo hướng kính	3,241	3,7	131,127	131,213
Sơ đồ tiếp xúc dao theo dọc trục	1996,485	997,4254	708,273	2341,466

Sơ đồ đặt lực được trình bày trên Hình 13.



Hình 17. Sơ đồ đặt lực tác dụng khi phân tích

Mô men xoắn tác dụng lên dao cắt là:

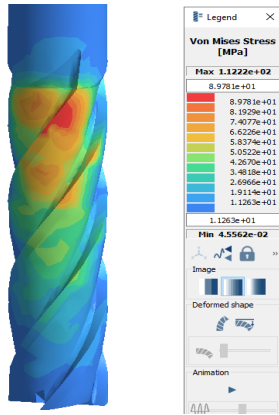
$$T_{c1} = F_{c1} \times d/2 = 131,127.12/2 = 786,8 \text{ N.mm} \quad (2)$$

$$T_{c2} = F_{c2} \times d/2 = 7082,73.6 = 42496,38 \text{ N.mm} \quad (3)$$

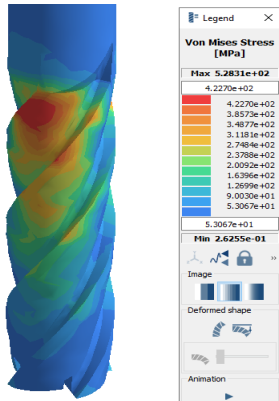
Theo [6] tiến hành các bước phân tích phần tử hữu hạn cho dao cắt:

- Gán vật liệu cho các chi tiết.
- Thiết lập liên kết giữa các chi tiết.

- Đặt tải trọng.
- Chia lưới.
- Chạy chương trình và phân tích được các biểu đồ trình bày trên Hình 18 đến Hình 19 như sau:



Hình 18. Đồ thị phân bố ứng suất trên dao cắt khi gia công theo sơ đồ tiếp xúc dao theo hướng kính

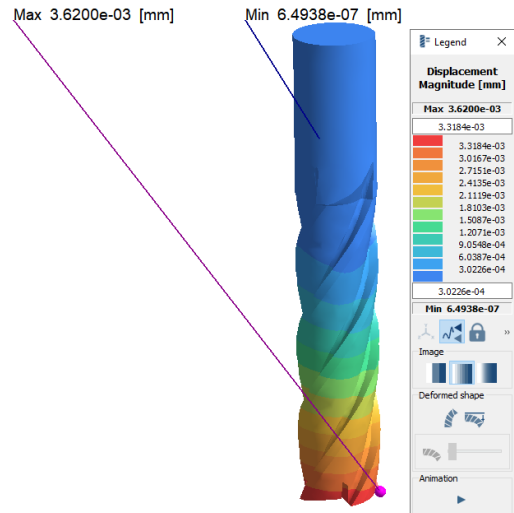


Hình 19. Đồ thị phân bố ứng suất trên dao cắt khi gia công theo sơ đồ tiếp xúc dao theo dọc trục

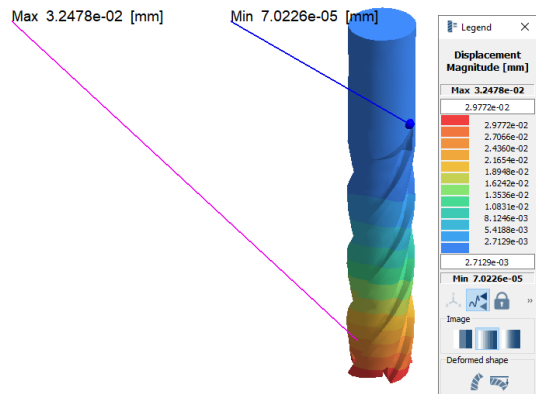
Nhận xét:

Kết quả phân tích cho thấy ứng suất lớn nhất trên dao cắt, khi làm việc theo cả hai sơ đồ, đều tập trung ở vị trí cuối phần lưỡi cắt. Điều này phù hợp với thực tế rằng dao cắt thường có xác suất gãy ở phần này cao hơn so với các vị trí khác trên dụng cụ. Giá trị ứng suất lớn nhất khi gia công theo sơ đồ tiếp xúc dao theo hướng kính là 112,2 MPa có tỉ lệ bằng 21,2% so với khi gia công theo sơ đồ tiếp xúc dao theo dọc trục có giá trị lớn nhất là 528,3 MPa, cả 2 trường hợp đều thỏa mãn điều kiện bền của vật liệu carbide K10 có $[\sigma] \approx 1.500$ Mpa.

Kết quả phân tích biến dạng của dao cắt thông qua chuyển vị ở mặt đầu của dao cắt trong hai sơ đồ gia công được trình bày trên Hình 20 và Hình 21.



Hình 20. Đồ thị chuyển vị trên dao cắt khi gia công theo sơ đồ tiếp xúc dao theo hướng kính



Hình 21. Đồ thị chuyển vị trên dao cắt khi gia công theo sơ đồ tiếp xúc dao theo dọc trục

Nhận xét:

Kết quả phân tích cho thấy chuyển vị của điểm trên mặt đầu của dao cắt là lớn nhất và giá trị đó nhỏ dần cho đến hết phần công xôn của dao cắt giá trị chuyển vị lớn nhất khi gia công theo sơ đồ tiếp xúc dao theo hướng kính là $3,62 \cdot 10^{-3}$ mm có tỉ lệ bằng 11,1% so với khi gia công theo sơ đồ tiếp xúc dao theo dọc trục có giá trị lớn nhất là $3,2478 \cdot 10^{-2}$ mm. Trong thực tế để giảm giá trị chuyển vị này thì có gá đặt dao cắt trên bầu dao với chiều dài công xôn ngắn nhất trong phạm vi cho phép.

4. KẾT LUẬN

Nghiên cứu này đã sử dụng phần mềm Altair Inspire kết hợp phương pháp phần tử hữu hạn để mô phỏng và phân tích ứng suất, biến dạng trên dao phay carbide K10 K10 khi phay mặt bên thép SKD61, so sánh hai sơ đồ tiếp xúc dao là hướng kính và dọc trục. Kết quả chỉ rõ ưu thế của sơ đồ tiếp xúc hướng kính: Lực cắt tổng hợp giảm mạnh (131,213 N so với 2341 N), ứng suất cực đại giảm 78,7% (112,2 MPa so với 528,3 MPa) và biến dạng giảm 88,8% ($3,62 \cdot 10^{-3}$ mm so với $3,2478 \cdot 10^{-2}$ mm) so với sơ đồ dọc

trục. Dù cả hai trường hợp đều đảm bảo an toàn về độ bền vật liệu dao, sơ đồ hướng kính giúp phân bố tải trọng đều hơn, giảm thiểu ứng suất tập trung và rủi ro hư hỏng dao.

Kết quả nghiên cứu cung cấp dữ liệu tham khảo hữu ích cho việc tối ưu hóa chiến lược gia công và ứng dụng mô phỏng trong cơ khí, đồng thời nội dung bài báo là tài liệu tham khảo cho việc ứng dụng phần mềm vào mô phỏng lực cắt, ứng suất biến dạng của dao cắt nối riêng và động lực học các cơ cấu cơ khí nói chung.

TÀI LIỆU THAM KHẢO

[1]. Afazov, S. M., Ratchev, S. M., Segal, J., & Popov, A. A. (2012), *Prediction and experimental validation of micro-milling cutting forces of*

AISI H13 steel at hardness between 35 and 60 HRC, The International Journal of Advanced Manufacturing Technology, 62(9-12), 887-899.

- [2]. Malekian, M., Park, S. S., & Jun, M. B. G. (2009), *Modeling of dynamic micro-milling cutting forces*, International Journal of Machine Tools and Manufacture, 49(7-8), 586-598.
- [3]. NS Tool Endmill Catalog Vol. 20 2022.11.
- [4]. Fanuc Series-oi MC O peration's Manual, 2017
- [5]. Roberts, G., & Krauss, G. (1998), *Tool steels* (5th ed.), ASM International
- [6]. https://2024.help.altair.com/2024/inspire/en_us/index.htm

AUTHORS INFORMATION

Mac Thi Nguyen*, **Mac Van Giang**

*Corresponding author: nguyenmacthi@gmail.com

Sao Do University.

THẺ LỆ GỬI BÀI

TẠP CHÍ NGHIÊN CỨU KHOA HỌC, TRƯỜNG ĐẠI HỌC SAO ĐỎ

Tạp chí Nghiên cứu khoa học, Trường Đại học Sao Đỏ (P. ISSN 1859-4190, E. ISSN 2815-553X), thường xuyên công bố kết quả, công trình nghiên cứu khoa học và công nghệ của các nhà khoa học, cán bộ, giảng viên, nghiên cứu sinh, học viên cao học, sinh viên ở trong và ngoài nước.

1. Tạp chí xuất bản 01 số/quý bằng hai ngôn ngữ tiếng Việt và tiếng Anh. Tạp chí nhận đăng các bài báo khoa học thuộc các lĩnh vực: Điện - Điện tử - Tự động hóa; Cơ khí - Động lực; Kinh tế; Triết học - Xã hội học - Chính trị học; Các lĩnh vực khác gồm: Công nghệ thông tin; Hóa học - Công nghệ thực phẩm; Ngôn ngữ học; Toán học; Vật lý; Văn hóa - Nghệ thuật - Thể dục thể thao...
2. Bài nhận đăng là những công trình nghiên cứu khoa học chưa công bố trong bất kỳ ấn phẩm khoa học nào.
3. Tòa soạn chỉ nhận bài báo gửi online trên website <http://tapchikhcn.saodo.edu.vn>. Bài báo gửi về tòa soạn dưới dạng file điện tử (*.doc *.docx và *.pdf); cuối bài báo, tác giả ghi rõ thông tin địa chỉ liên hệ, số điện thoại, email và cập nhật thông tin trên website. Bài báo phải được trình bày đúng định dạng, rõ ràng; Trường hợp bài báo phải chỉnh sửa theo thể lệ hoặc theo yêu cầu của Phản biện thì tác giả sẽ cập nhật trên website. Người phản biện sẽ do tòa soạn mời. Tòa soạn không gửi lại bài nếu không được đăng.
4. Các công trình thuộc đề tài nghiên cứu có Cơ quan quản lý cần kèm theo giấy phép cho công bố của cơ quan (Tên đề tài, mã số, tên chủ nhiệm đề tài, cấp quản lý,...).
5. Tên bài báo trình bày bằng hai ngôn ngữ (tiếng Việt và tiếng Anh), font Arial, cỡ chữ 14, in đậm, căn giữa.
6. Tên tác giả (không ghi học hàm, học vị), font Arial, cỡ chữ 10, in đậm, căn lề phải; cơ quan công tác của các tác giả, font Arial, cỡ chữ 9, in nghiêng, căn lề phải.
7. Chữ "Tóm tắt" in đậm, font Arial, cỡ chữ 10; Nội dung tóm tắt của bài báo không quá 10 dòng, trình bày bằng hai ngôn ngữ (tiếng Việt và tiếng Anh), font Arial, cỡ chữ 10, in thường.
8. Chữ "Từ khóa" in đậm, nghiêng, font Arial, cỡ chữ 10; Có từ 03÷05 từ khóa, font Arial, cỡ chữ 10, in nghiêng, ngăn cách nhau bởi dấu chấm phẩy, cuối cùng là dấu chấm.
9. Nội dung bài báo viết bằng tiếng Việt hoặc tiếng Anh; Nếu là bài báo viết bằng tiếng Việt: Tiêu đề tiếng Việt trước, tiếng Anh sau; Tóm tắt tiếng Việt trước, tiếng Anh sau; Từ khóa tiếng Việt trước, tiếng Anh sau; Nếu là bài báo viết bằng tiếng Anh: Tiêu đề tiếng Anh trước, tiếng Việt sau; Tóm tắt tiếng Anh trước, tiếng Việt sau; Từ khóa tiếng Anh trước, tiếng Việt sau.
10. Bài báo được đánh máy trên khổ giấy A4 (21 × 29,7cm) có độ dài không quá 8 trang, font Arial, cỡ chữ 10, giãn dòng At least 12pt, Before 3pt, After 3pt; căn lề trên 2.5cm, dưới 2.5cm, trái 3cm, phải 2cm; hình vẽ phải rõ ràng, đủ nét và được định dạng dưới dạng file ảnh (*.jpg); Phương trình, công thức phải soạn thảo bằng Mathtype hoặc Equation; Phần nội dung bài báo được chia thành 02 cột, khoảng cách cột là 1cm; Trong trường hợp hình vẽ, hình ảnh có kích thước lớn, bảng biểu có độ rộng lớn hoặc công thức, phương trình dài thì cho phép trình bày dưới dạng 01 cột.
11. Tài liệu tham khảo được sắp xếp theo thứ tự tài liệu được trích dẫn trong bài báo.
 - Nếu là sách/luận án: Tên tác giả (năm), Tên sách/luận án/luận văn, Nhà xuất bản/Trường/Viện, lần xuất bản/tái bản.
 - Nếu là bài báo/báo cáo khoa học: Tên tác giả (năm), Tên bài báo/báo cáo, Tạp chí/Hội nghị/Hội thảo, Tập/Kỷ yếu, số, trang.
 - Nếu là trang web: Phải trích dẫn đầy đủ tên website và đường link, ngày cập nhật.
12. Định dạng mẫu bài báo tham khảo tại địa chỉ http://tapchikhcn.saodo.edu.vn/news/detail/198/format_paper
Bài báo sau khi xuất bản sẽ được công bố trên <http://tapchikhcn.saodo.edu.vn>.

THÔNG TIN LIÊN HỆ:

Ban Biên tập Tạp chí Nghiên cứu khoa học, Trường Đại học Sao Đỏ

Phòng 203, Tầng 2, Nhà B1, Trường Đại học Sao Đỏ.

Địa chỉ: Số 76, Nguyễn Thị Duệ, KDC Thái Học 2, P. Chu Văn An, TP. Hải Phòng.

Điện thoại: (0220) 3587213, Fax: (0220) 3882921, Hotline: 0912 107858/0936 847980.

Website: <http://tapchikhcn.saodo.edu.vn>

Email: tapchikhcn@saodo.edu.vn

Tạp chí Nghiên cứu khoa học, Trường Đại học Sao Đỏ, Số 4 (92) 2025



BỘ CÔNG THƯƠNG

TRƯỜNG ĐẠI HỌC SAO ĐỎ

Địa chỉ:

- **Số 1:** Số 76, đường Nguyễn Thị Duệ, KDC Thái Học 2, phường Chu Văn An, thành phố Hải Phòng.
- **Số 2:** Số 72, đường Nguyễn Thái Học, quốc lộ 37, phường Chu Văn An, thành phố Hải Phòng.
- **Điện thoại:** (0220) 3882 269 **Fax:** (0220) 3882 921 **Website:** <http://saodo.edu.vn> **Email:** info@saodo.edu.vn

P. ISSN 1859-4190
E. ISSN 2815-553X

Số 4 (92)

2025

Địa chỉ Tòa soạn:

Trường Đại học Sao Đỏ

Số 76, đường Nguyễn Thị Duệ, KDC Thái Học 2, phường Chu Văn An, thành phố Hải Phòng.

Điện thoại: (0220) 3587213, Fax: (0220) 3882 921, Hotline: 0912 107858/0936 847980.

Website: <http://tapchikhcn.saodo.edu.vn>/Email: tapchikhcn@saodo.edu.vn.

Giấy phép xuất bản số: 620/GP-BTTTT ngày 17/9/2021 của Bộ Thông tin và Truyền thông.
In 2.000 bản, khổ 21 × 29,7cm, tại Công ty TNHH in Tre Xanh, cấp ngày 17/02/2011.